

# 一类具有时滞的 Lienard 方程的 Hopf 分支

马苏奇<sup>1,2</sup> 陆启韶<sup>2</sup>

(1. 中国农业大学 理学院, 北京 100083; 2. 北京航空航天大学 一般力学系, 北京 100083)

**摘要** 研究了一类时滞 Lienard 方程的稳定性及其 Hopf 分支问题。以滞量作为参数, 分析了方程的零解的稳定性, 得到了 Hopf 分支值; 应用中心流形和规范型理论, 得到了确定 Hopf 分支方向和分支周期解稳定性的计算公式。给出了一个具体的超临界 Hopf 分岔的例子, 表明理论分析和数值计算结果具有一致性。

**关键词** 时滞微分方程; Hopf 分岔; 稳定性

中图分类号 O175.13

文章编号 1007-4333(2003)04-0001-04

文献标识码 A

## Hopf bifurcation of a lienard differential equation with delay

Ma Suqi<sup>1,2</sup>, Lu Qishao<sup>2</sup>

(1. College of Science, China Agricultural University, Beijing 100083, China;

2. School of Science, Beijing University of Aeronautics and Astronautics, Beijing 100083, China)

**Abstract** A Lienard differential equation with time-delay is studied. The time delay  $r$  can qualitatively change the dynamics. Choosing time delay  $r$  as parameter, when  $r$  increases, the unique equilibrium can switch from being stable to unstable, thus Hopf bifurcation happens. The bifurcation direction is also computed by using the normal form method.

**Key words** delay; Hopf bifurcation; Lienard differential equation

## 1 零解的稳定性和 Hopf 分岔

### 时滞 Lienard 方程

$$\ddot{x}(t) + f(x(t))\dot{x}(t-r) + g(x(t-r)) = 0 \quad (1)$$

其中:  $f(x)$ ,  $g(x)$  为连续可微函数,  $t$  表示时间,  $r$  为滞量, 且有  $f(0) = k$ ,  $g(0) = 0$ ,  $g'(0) = 1$ 。方程(1)的线性化系统的特征方程为

$$w^2 + kw^{-r} + e^{-r} = 0 \quad (2)$$

令特征值  $w = iw$  (设  $w > 0$ ), 可得

$$\begin{cases} -w^2 + wksin(wr) + cos(wr) = 0 \\ -wkcoss(wr) + sin(wr) = 0 \end{cases}$$

所以

$$\begin{cases} w^2k^2 + 1 = w^4 \\ tan(wr) = kw \end{cases} \quad (3)$$

显然, 方程(3)有惟一正实根  $w_0 = \sqrt{\frac{k^2 + \sqrt{k^4 + 4}}{2}}$ ,

并且此时  $r_n = \frac{\arctan(kw_0)}{w_0} + 2n$ , 其中  $n = 0, 1, 2 \dots$ ; 所以有引理 1 和引理 2。

**引理 1** 特征方程(2)当  $r = r_n$  时有一对简单纯虚根  $\pm iw_0$ , 其中  $r_n, w_0$  同上定义。

**引理 2** 设  $\lambda(r) = \mu(r) + iw(r)$  为特征方程(2)的根, 则  $\left. \frac{d\lambda(r)}{dr} \right|_{r=r_n} > 0$ 。

**证明**: 显然, 根  $\lambda(r)$  满足  $\lambda(r_n) = 0$ ,  $w(r_n) = \pm w_0$ 。将  $\lambda(r) = \mu(r) + iw(r)$  代入特征方程(2), 并分离其实部和虚部, 得

$$\left. \begin{aligned} & e^r(\mu^2 - w^2) + [k\cos(wr) + \\ & kw\sin(wr) + \cos(wr)] = 0 \\ & 2we^r + [kw\cos(wr) - \\ & k\sin(wr) - \sin(wr)] = 0 \end{aligned} \right\} \quad (4)$$

方程(4)两边在  $r = r_n$  处求导, 并注意到式(3)成立, 可得

收稿日期: 2002-12-30

基金项目: 国家自然科学基金资助(No. 10172011)

作者简介: 马苏奇, 博士生; 陆启韶, 博士生导师, 教授, 主要研究方向为一般力学

$$\left. \begin{array}{l} \{k\cos(w_0 r_n) - r_n w_0^2\} + \\ \{k\sin(w_0 r_n) - 2w_0\} \dot{w} = 0 \\ \{2w_0 - k\sin(w_0 r_n)\} + \\ \{k\cos(w_0 r_n) - r_n w_0^2\} = w_0^3 \end{array} \right\} \quad (5)$$

所以

$$\frac{d}{dr} \Big|_{r=r_n} = \frac{-w_0^3 / \{k\sin(w_0 r_n) - 2w_0\}}{\{k\cos(w_0 r_n) - r_n w_0^2\}^2 + \{k\sin(w_0 r_n) - 2w_0\}^2}$$

由方程(3), 得

$$\begin{aligned} k\sin(w_0 r_n) - 2w_0 &= \frac{k^2 w_0^3}{k^2 w_0^2 + 1} - 2w_0 = \\ &= \frac{-k^2 w_0^3 - 2w_0}{k^2 w_0^2 + 1} < 0 \end{aligned}$$

因此  $\frac{d}{dr} > 0$ 。结论得证。

因为当  $r=0$  时, 特征方程(2)的根具有严格的负实部, 且  $r$  由小变大穿过  $r=r_n$  ( $n=0, 1, \dots$ ) 时, 有一对复共轭特征根的实部由正变负, 所以由 Hopf 分岔定理<sup>[1]</sup>得到:

引理 3 对方程(1), 有

- 1)  $r=(0, r_0)$  时, 其零解渐近稳定。
- 2) 在  $r=r_n$  ( $n=0, 1, \dots$ ) 处发生 Hopf 分岔。

## 2 Hopf 分岔分析

若设  $\dot{x}=y$ , 可得到方程(1)的等价一阶方程组

$$\left. \begin{array}{l} \dot{x}=y \\ \dot{y}=-f(x)y(t-r)-g(x(t-r)) \end{array} \right\} \quad (6)$$

在原点的充分小邻域内, 将方程(6)的右边进行泰勒展开, 得

$$\left. \begin{array}{l} \dot{x}=y \\ \dot{y}=-ky(t-r)-x(t-r)-\frac{g(0)x^2(t-r)}{2}- \\ \frac{g''(0)x^3(t-r)}{6}-f(0)xy(t-r)- \\ \frac{f(0)x^2y(t-r)}{2}-\dots \end{array} \right\} \quad (7)$$

方程(7)右端的非线性项为

$$h=\left\{ \begin{array}{l} 0 \\ -\frac{g(0)x^2(t-r)}{2}-\frac{g''(0)x^3(t-r)}{6}- \\ f(0)xy(t-r)-\frac{f(0)x^2y(t-r)}{2}-\dots \end{array} \right\} \quad (8)$$

记  $C=[[-r, 0], \mathbf{R}^2]$ , 对任意的  $C$ , 定义  $=\sup_{-r} |(\cdot)|$ 。如果对  $z_t \in C$  定义  $z_t(\cdot)=z(t+\cdot), -r \leq \cdot \leq 0$ , 则方程(8)可表示成泛函微分方程

$$\dot{z}=\mathbf{D}z_t+\mathbf{Q}z_t \quad (9)$$

其中  $z=(x, y)^T, \mathbf{D}: C \rightarrow \mathbf{R}^2$  是线性算子, 对任意的  $C$ ,

$$\mathbf{D}=\left\{ \begin{array}{l} \frac{d}{dt} \quad -r \quad 0 \\ L \quad =0 \end{array} \right. \quad (10)$$

$$\mathbf{Q}(\cdot)=\left\{ \begin{array}{l} (0, 0)^T \quad -r \quad 0 \\ h(\cdot) \quad =0 \end{array} \right. \quad (11)$$

由 Riesz 表示定理, 存在分量为有界变差函数的二阶矩阵  $:[-r, 0] \rightarrow \mathbf{R}^{2 \times 2}$ , 使得

$$L=\int_{-r}^0 [d(s)](s) \quad (12)$$

记  $C^*$  是  $C$  的对偶空间, 对  $C^*$ , 定义

$$\mathbf{D}^*(\cdot)=\left\{ \begin{array}{l} \frac{d}{dt} \quad 0 < r \\ 0 \quad \int_{-r}^0 [d^T(t)](-t) \quad =0 \end{array} \right. \quad (13)$$

对  $C([-r, 0], \mathbf{R}^2), C^*([0, r], \mathbf{R}^2)$ , 定义  $, =^{-T}(0)(0) - \int_{-r}^0 -^T(-)(-)[d(\cdot)](-)d\cdot$

则  $\mathbf{D}$  与  $\mathbf{D}^*$  按上述对偶积互为共轭算子。

设  $q(\cdot)$  与  $q^*(\cdot)$  分别是算子  $\mathbf{D}$  与  $\mathbf{D}^*$  当  $r=r_0$  时相应于特征值  $iw_0$  和  $-iw_0$  的特征向量, 即

$$\left. \begin{array}{l} \mathbf{D}q(\cdot)=iw_0q(\cdot) \\ \mathbf{D}^*q^*(\cdot)=-iw_0q^*(\cdot) \end{array} \right\} \quad (15)$$

引理 4 容易通过直接证明得知  $q(\cdot)=(1, e^{iw_0}, -r, 0)^T$ , 和  $q^*(\cdot)=N(1, 1, e^{iw_0}, 0)$

$r$ , 并且  $q^*, q = 1$ , 其中  $= iw_0, = \frac{e^{iw_0 r_0}}{iw_0}$  且

$$N=\frac{1}{+ - (1+k^-) r_0 e^{iw_0 r_0}}=$$

$$\frac{iw_0}{[\cos(w_0 r_0) + w_0^2] + i[\sin(w_0 r_0) - w_0^3 - r_0]}$$

令  $\omega = \{iw_0, -iw_0\}$ , 则存在  $C$  的一个直和分解  $C = P \oplus Q$ , 其中  $P$  是算子  $D$  相应于  $\omega$  的特征向量,  $Q$  是  $P$  的补空间。又设  $\psi = (\psi_1, \psi_2)$  是  $P$  的一个基, 由 Hale(1993) 的结果, 当  $r = r_0$  时, 方程(6)的局部中心流形是

$$M = \{z_t \in C : z_t = z + u(z, h(\psi))\}$$

其中  $z = (x, y)^T$  属于原点的某一领域,  $u \in Q_A$ ,

$$h(\psi) = \begin{pmatrix} 0 \\ -\frac{g(0)}{2} \frac{\dot{\psi}_1(-r)}{1} - \frac{g''(0)}{6} \frac{\ddot{\psi}_1(-r)}{1} - f(0) \psi_1(0) \psi_2(-r) \\ \frac{f(0)}{2} \frac{\dot{\psi}_1(0) \dot{\psi}_2(-r)}{1} - \dots \end{pmatrix}$$

且  $z(t)$  满足自治的微分方程

$$\dot{z} = \begin{pmatrix} 0 & -w_0 \\ w_0 & 0 \end{pmatrix} z + \psi(0) h(\psi) \quad (16)$$

且  $\psi = (\psi_1, \psi_2)$  是  $P$  的一个对偶基。由引理 4, 得到

$$\psi(\cdot) = \begin{pmatrix} \cos(w_0 \cdot) & \sin(w_0 \cdot) \\ -w_0 \sin(w_0 \cdot) & w_0 \cos(w_0 \cdot) \end{pmatrix} \quad (17)$$

$$\psi(0) = \begin{pmatrix} \operatorname{Re} N \operatorname{Re} & -\operatorname{Im} N \operatorname{Im} & \operatorname{Re} N \operatorname{Im} + \operatorname{Im} N \operatorname{Re} \\ \operatorname{Re} N & \operatorname{Im} N & \operatorname{Im} N \end{pmatrix} \quad (18)$$

所以

$$z = \begin{pmatrix} x \cos(w_0 \cdot) + y \sin(w_0 \cdot) \\ -w_0 x \sin(w_0 \cdot) + w_0 y \cos(w_0 \cdot) \end{pmatrix} \quad (19)$$

$$h(\psi) = \begin{pmatrix} 0 \\ h_2(x, y) \end{pmatrix} \quad (20)$$

$$h_2(x, y) = l_1 x^2 + l_2 xy + l_3 y^2 + l_4 x^3 + l_5 x^2 y + l_6 xy^2 + l_7 y^3 + O(\cdot^4) \quad (21)$$

其中

$$l_1 = -\left(\frac{g(0)}{2} \cos^2(w_0 r_0) + w_0 f(0) \sin(w_0 r_0)\right)$$

$$l_2 = \frac{g(0)}{2} \sin(2w_0 r_0) - w_0 f(0) \sin(w_0 r_0)$$

$$l_3 = \frac{g(0)}{2} \sin^2(w_0 r_0)$$

$$l_4 = -\left(\frac{g''(0)}{6} \cos^3(w_0 r_0) + \frac{f(0)}{2} w_0 \sin(w_0 r_0)\right)$$

$$l_5 = \frac{g''(0)}{2} \sin(w_0 r_0) \cos^2(w_0 r_0) - \frac{f(0)}{2} w_0 \sin(w_0 r_0)$$

$$l_6 = -\frac{g'''(0)}{2} \sin^2(w_0 r_0) \cos(w_0 r_0)$$

$$l_7 = \frac{g'''(0)}{6} \sin^3(w_0 r_0)$$

将式(18)和(20)代入式(16), 得

$$\begin{cases} \dot{x} = -wy + (\operatorname{Re} N \operatorname{Im} + \operatorname{Im} N \operatorname{Re}) h_2(x, y) \\ \dot{y} = wx + \operatorname{Im} N h_2(x, y) \end{cases} \quad (22)$$

由引理 4, 计算得

$$\begin{aligned} \operatorname{Re} N \operatorname{Im} + \operatorname{Im} N \operatorname{Re} &= \operatorname{Im}(N) = \\ &= \frac{w_0^2 \sin(w_0 r_0) + w_0^3 r_0 \cos(w_0 r_0)}{[\cos(w_0 r_0) + w_0^2]^2 + [\sin(w_0 r_0) - w_0^3 r_0]^2} \\ \operatorname{Im} N &= \frac{w_0 / \cos(w_0 r_0) + w_0^2}{[\cos(w_0 r_0) + w_0^2]^2 + [\sin(w_0 r_0) - w_0^3 r_0]^2} \end{aligned}$$

通过近似恒等变换, 方程(22)可以简化为三阶范式(Guckenheimer & Holmes, 1983)

$$\begin{cases} \dot{x} = a(x^2 + y^2)x - [w_0 + b(x^2 + y^2)]y + O(\cdot^4) \\ \dot{y} = [w_0 + b(x^2 + y^2)]x + a(x^2 + y^2)y + O(\cdot^4) \end{cases} \quad (23)$$

化为极坐标形式, 得

$$\begin{cases} \dot{r} = a^3 + O(\cdot^4) \\ \dot{\theta} = w_0 + b^2 + O(\cdot^3) \end{cases} \quad (24)$$

其普适开折为

$$\begin{cases} \dot{r} = \mu + a^3 + O(\cdot^4) \\ \dot{\theta} = w_0 + b^2 + O(\cdot^3) \end{cases} \quad (25)$$

这里  $\mu$  是一个开折参数, 系数  $a$  为

$$\begin{aligned} a &= \frac{1}{8} (3 \operatorname{Im} N) \cdot l_4 + \operatorname{Im}(N) \cdot l_6 + \operatorname{Im}(N) \cdot l_5 + \\ &\quad 3 \operatorname{Im}(N) \cdot l_7 + \frac{1}{8 w_0} [\operatorname{Im}(N) \cdot l_2 (\operatorname{Im}(N) \cdot l_1 + \\ &\quad \operatorname{Im}(N) \cdot l_3) - \operatorname{Im}(N) \cdot \operatorname{Im}(N) \cdot l_2 (l_1 + l_3) - \\ &\quad 2 \operatorname{Im}(N) \operatorname{Im}(N) (l_1^2 - l_3^2)] = \end{aligned}$$

$$\frac{1}{16 \{[\cos(w_0 r_0) + w_0^2]^2 + [\sin(w_0 r_0) - w_0^3 r_0]^2\} w_0^6} \cdot$$

$$(mg'''(0) + nf'(0)) + \frac{1}{16 \{[\cos(w_0 r_0) + w_0^2]^2 + [\sin(w_0 r_0) - w_0^3 r_0]^2\} w_0^{10}} \cdot$$

$$(sg^2(0) + wf'(0)g(0) + vf^2(0))$$

其中:

$$m = k - kw_0 - r_0 w_0 + k^3 w_0^2 - k^3 w_0^3 - k^2 r_0 w_0^3 + kw_0^4 + k^3 w_0^6$$

$$n = -kw_0^5 - 3k^2 w_0^7 - 3kr_0 w_0^7 - kw_0^9$$

$$\begin{aligned}
 s = & k - kw_0 - r_0 w_0 + k^3 w_0^2 + 2kw_0^4 - k^3 w_0^4 - \\
 & 2k^2 r_0 w_0^4 - kr_0^2 w_0^4 - kw_0^5 + k^5 w_0^5 - r_0 w_0^5 + \\
 & k^4 r_0 w_0^5 + 2k^3 w_0^6 - k^3 w_0^6 - 2k^4 r_0 w_0^6 - k^3 r_0^2 w_0^6 + \\
 & kw_0^8 + k^5 w_0^9 + k^4 r_0 w_0^9 + k^3 w_0^{10} \\
 w = & -kw_0^3 + 2k^2 w_0^4 - 4k^2 w_0^5 - k^3 w_0^5 - 4kr_0 w_0^5 - \\
 & 2kw_0^7 + k^3 w_0^7 + 2k^2 r_0 w_0^7 + kr_0^2 w_0^7 + 4k^2 w_0^8 - \\
 & 2k^4 w_0^8 - 4k^3 r_0 w_0^8 - 2k^2 r_0^2 w_0^8 - 4k^2 w_0^9 - \\
 & 2k^3 w_0^9 + k^5 w_0^9 - 4kr_0 w_0^9 + 2k^4 r_0 w_0^9 + k^3 r_0^2 w_0^9 - \\
 & kw_0^{11} + 2k^2 w_0^{12} - k^3 w_0^{13} \\
 v = & -2k^2 w_0^7 - 4k^3 w_0^9 - 4k^2 r_0 w_0^9 - 4k^2 w_0^{11} + \\
 & 2k^4 w_0^{11} + 4k^3 r_0 w_0^{11} + 2k^2 r_0^2 w_0^{11} - 4k^3 w_0^{13} - \\
 & 4k^2 r_0 w_0^{13} - 2k^2 w_0^{15}
 \end{aligned}$$

可见,  $a$  的正负与  $f(x(t))$  和  $g(x(t))$  有关。

**定理 1** 方程(1)在  $r = r_0$  时发生 Hopf 分岔, 且如果  $a > 0$ , 则是亚临界的, 即当  $r < r_0$  时, 在原点

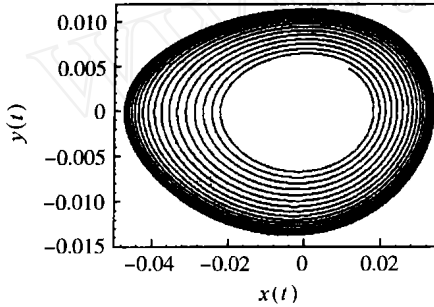
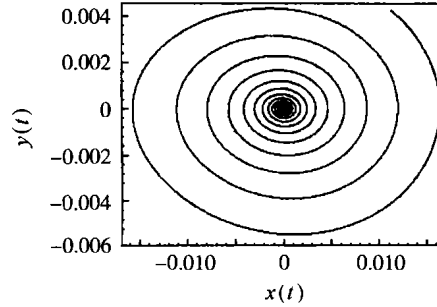
(a)  $r < r_0$ (b)  $r > r_0$ 

图 1 相图

Fig. 1 Phase portraits

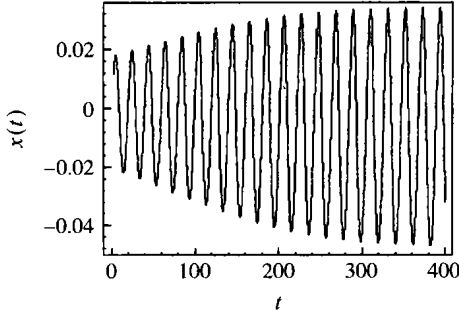
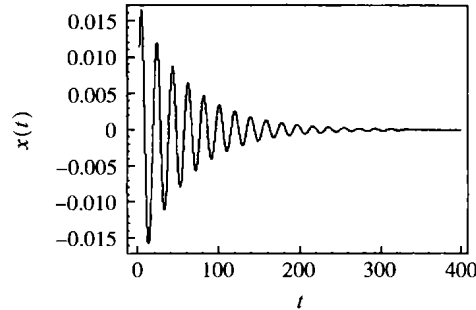
(a)  $r < r_0$ (b)  $r > r_0$ 

图 2 时间序列解

Fig. 2 Time series solutions

从图 1 和图 2 可以看出, Hopf 分岔是超临界的。

## 参 考 文 献

- [1] Hale J K. Introduction to Functional differential Equa-

附近分支出惟一的不稳定的极限环; 如果  $a < 0$ , 则是超临界的, 即当  $r > r_0$  时, 在原点附近分支出惟一的稳定的极限环。

## 3 算 例

给出一个例子来验证理论分析和数值计算结果的一致性。对方程

$$x + 0.1x(t-r) + 0.1x(t-r) - x^2(t-r) = 0 \quad (26)$$

容易计算得 Hopf 分岔参数值

$$r_0 = 0.3242297364\dots$$

分别取  $r = 0.1242297364\dots < r_0$   
和  $r = 0.5242297364\dots > r_0$

借助 Maple 软件得到了方程(26)的相图(图 1)和时间序列解(图 2)。

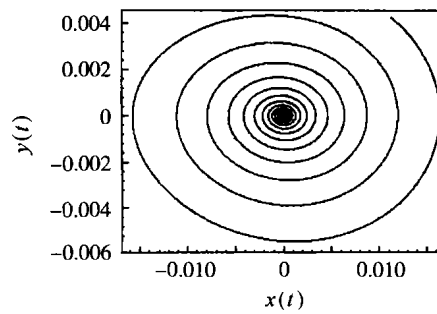
(b)  $r > r_0$ 

图 1 相图

Fig. 1 Phase portraits

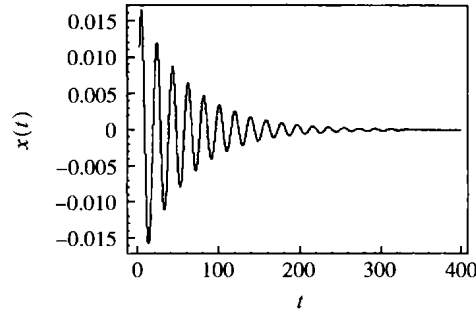
(b)  $r > r_0$ 

图 2 时间序列解

Fig. 2 Time series solutions

- tions [M]. Berlin: Springer-Verlag, 1993. 227~268  
[2] Guckenheimer J, Holmes P. Nonlinear oscillations, dynamical systems, and bifurcations of vector fields. Number 42 in applied mathematical sciences [M]. Berlin: Springer-Verlag, 1983. 117~156